

# بررسی تجربی و عددی پارامترهای مؤثر بر گشتاور و توان در فرایند شکل دهی غلتکی سرد مقاطع کanal متقارن

یعقوب دادگر اصل (دانشجوی دکتری)

دانشکده مهندسی مکانیک، دانشگاه تربیت دیر نهید رجایی

رسول صدریان (استادیار)

گروه مهندسی مکانیک، دانشگاه صنعتی خاتم الانبیاء پهلوان

حسن «سلیمانی»<sup>\*</sup> (استاد)

دانشکده مهندسی مکانیک، دانشگاه تربیت دیر

ولی الله بن‌الهی‌زاده رحیم‌لو (استادیار)

دانشکده مهندسی مکانیک، دانشگاه تربیت دیر نهید رجایی

در این نوشتار عوامل مؤثر بر گشتاور شکل دهی — شامل هندسه‌ی غلتک، ضخامت ورق، تنش تسلیم ورق، عرض ورق و زاویه‌ی شکل دهی — و نیز توان مورد نیاز در فرایند شکل دهی غلتکی سرد بررسی می‌شود. با توجه به ثابت‌بودن عرض کف پروفیل، افزایش عرض ورق سبب افزایش عرض بال مقطع می‌شود. این فرایند با نرم‌افزار اجزاء محدود Abaqus برای دو نوع هندسه با غلتک بال‌النی تخت و زاویه‌دار شبیه‌سازی شد. نتایج شبیه‌سازی‌ها نشان داد که افزایش استحکام تسلیم، زاویه‌ی شکل دهی و ضخامت ورق، به افزایش گشتاور وارد شده به غلتک‌ها می‌انجامد و درنتیجه توان شکل دهی افزایش می‌یابد. افزایش عرض ورق باعث کاهش گشتاور مورد نیاز برای شکل دهی می‌شود. نتایج نشان می‌دهد که مقدار گشتاور اعمالی به غلتک‌ها و درنتیجه توان مورد نیاز شکل دهی برای ایستگاه، شکل دهنی با غلتک‌های بال‌النی تخت در تمام حالت‌های مورد بررسی کمتر است. بررسی تأثیر ضخامت و عرض ورق در آزمایش‌های تجربی، مزود شبیه‌سازی‌های اجرایی محدود است.

y.dadgar@srttu.edu  
 safdarian@bkatu.ac.ir  
 moslemi@modares.ac.ir  
 v.panahizaf@yahoo.com

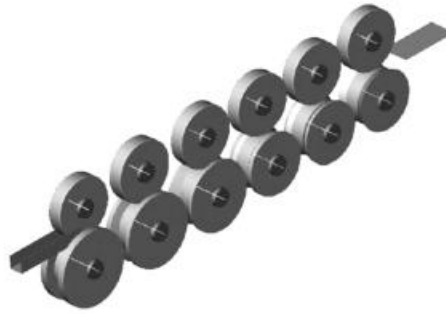
واژگان کلیدی: شکل دهی غلتکی سرد، گشتاور شکل دهی، هندسه‌ی غلتک، کرشن طولی، شبیه‌سازی اجزای محدود.

## ۱. مقدمه

شکل دهی غلتکی سرد یکی از روش‌های رایج و پر بازده در صنعت شکل دهی ورقی فلزات است. این فرایند شامل چند مرحله شکل دهی فاز به صورت پیوسته و متالی است که در هر مرحله با اعمال مقدار مشخصی شکل دهی، ورق به محصول نهایی نزدیک می‌شود. از کاربردهای این فرایند می‌توان به تولید پروفیل با مقاطع مختلف مانند کانالی، کلاهی، نادانی، لوله‌یی و... اشاره کرد. در شکل ۱ طرح‌واره‌یی از فرایند شکل دهی غلتکی سرد نشان داده شده است. یکی از مسائل بسیار مهم در بررسی فرایندهای شکل دهی فلزات، برآورده گشتاور و توان مورد نیاز در شکل دهی است. شکل دهی بیش از حد، باعث افزایش نامتعارف گشتاور و توان شکل دهی شده و به پیامدهایی چون سایش غلتک‌ها، خرابی زودتر از موعد بیان‌اقان‌ها، و گاهش بازدهی

محققین با استفاده از نرم‌افزار Marc مقطع کanalی متقارن را بررسی<sup>[۱]</sup> و مقاطع مداده را مدل‌سازی کردند. آنها به محاسبه‌ی نظری کرنش خمیری پرداختند، و با به‌کارگیری کرشن سنج در آزمایش‌های تجربی، شاهد مطابقت خوب نتایج عددی و تجربی بودند. در مطالعه‌ی دیگر، با ارائه‌ی یک برنامه‌ی شبیه‌سازی اجرای محدود صلب - خمیری سه‌بعدی و با درنظرگرفتن مشخصه‌های نوع و ضخامت ورق، قطر و سرعت غلتک‌ها و رفتار تغییر شکل ماده،<sup>[۲]</sup> طول تغییر شکل را تخمین زندند. آن‌ها نتیجه گرفتند که کارسختی تأثیر به‌سزایی در طول تغییر شکل ورق‌های از قبل

\* نویسنده مستول  
 تاریخ: دریافت ۱۹/۱/۱۳۹۴، اصلاحیه ۳/۸/۱۳۹۴، پذیرش ۱۰/۱۳۹۴.

شکل ۱. طرح واره از فرایند شکل دهنده غلتکی سرد.<sup>[۲]</sup>

مقاطع کانالی مقایسه می‌شود. به دلیل تعدد پارامترهای مورد بررسی در شبیه‌سازی‌ها از روش طراحی آزمایش تاگوچی استفاده می‌شود. در بخش آزمایش‌های تجربی تحقیق حاضر یک سری آزمایش‌های تجربی برای صحبت‌سنگی تابع شبیه‌سازی‌ها انجام شد. مقایسه‌ی تابع تجربی و شبیه‌سازی، نشان‌گر مطابقت و هماهنگی بسیار خوب این نتیج است. در بین منابع مرتبط با تحقیق حاضر، فقط در یک مورد تأثیر استحکام ورق بر توان و گشتاور شکل دهنده بررسی شده،<sup>[۱]</sup> در حالی که در تحقیق حاضر علاوه بر استحکام، تأثیر سایر پارامترها شامل ضخامت، عرض ورق و زاویه‌ی شکل دهنده بر گشتاور و توان شکل دهنده بررسی می‌شود. علاوه بر این تأثیر دو نوع هندسه‌ی متفاوت برای غلتک بالایی بررسی می‌شود.

## ۲. شبیه‌سازی اجزای محدود

### ۱۲. طراحی آزمایش به روش تاگوچی

به دلیل تعدد عوامل مؤثر، آزمایشی برمبنای روش تاگوچی طراحی شد. از آنجا که ماهیت روش تاگوچی با محدودیت‌هایی از لحاظ تعداد عوامل و سطوح آن مواجه است، انتخاب طرحی متناسب با آزمایش، از حالات از پیش تعیین شده روش تاگوچی، به‌عهده‌ی طراح است. نهایتاً طرحی شامل ۲۲ آزمایش برای پنج عامل، به صورت یک عامل دوستطحی و ۴ عامل چهارستطحی انتخاب شد که در جدول ۱ نشان داده شده است. بعد از اجرای شبیه‌سازی‌ها نتایج توسط نرم‌افزار Minitab و به روش آنالیز پراکنش (ANOVA) تحلیل شد و نتیجه‌ی شبیه‌سازی برای تمام سطوح عوامل تخمین زده شد. دلیل انتخاب دو زاویه‌ی ۱۰° و ۲۰° درجه برای غلتک‌ها و همچنین چند استحکام متفاوت بصورتی که در جدول ۱ ارائه شده است، مقایسه نتایج مدل شبیه‌سازی تحقیق حاضر با نتایج مرجع مقایسه می‌باشد. محدوده‌ی سایر پارامترها — شامل ضخامت و عرض ورق — نیز نزدیک به مقادیر مورد استفاده در آزمایش تجربی انتخاب شده تا تأثیر این پارامترها بر گشتاور و توان شکل دهنده بررسی شود. به‌منظور بررسی اثر هندسه‌ی غلتک، استحکام تسلیم، زاویه‌ی خم، ضخامت و عرض ورق، شبیه‌سازی‌های متعددی انجام شد که در ادامه روند مدل‌سازی و انجام شبیه‌سازی‌ها به تفصیل بیان شده است. هندسه‌ی غلتک‌ها عاملی تأثیرگذار بر گشتاور غلتک‌ها و توان مورد نیاز شکل دهنده است. هندسه‌های زاویه‌دار و تخت مورد استفاده در این مطالعه در شکل ۲ نشان داده شده است.

### ۲.۲. مدل‌سازی فرایند

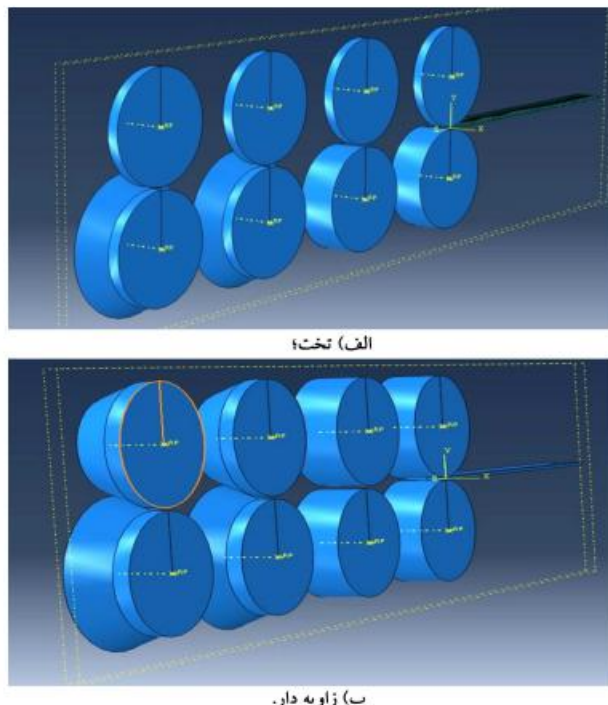
در جدول ۱ هندسه، استحکام‌های تسلیم، ضخامت‌ها و عرض‌های ورق و زوایای خم استفاده شده در شبیه‌سازی‌های مختلف درج شده است. مدل شامل چهار ایستگاه است که دو ایستگاه اول برای تعذیبی و ورق به ایستگاه‌های شکل دهنده کاربرد دارد و دو ایستگاه بعد با زاویه‌های مساوی برای شکل دهنده ورق مورد استفاده قرار

جدول ۱. پارامترها و سطوح مورد استفاده در شبیه‌سازی‌ها.

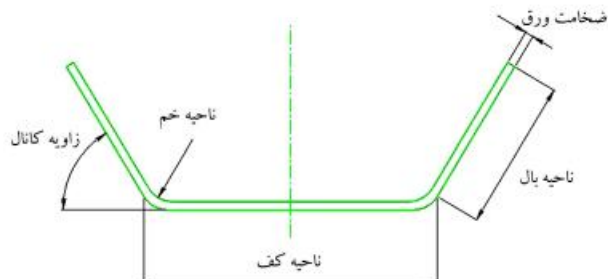
پارامتر	سطوح
زاویه‌ی شکل دهنده (deg)	۱۰° و ۲۰°
عرض ورق (mm)	۵۰، ۴۰، ۷۰ و ۶۰، ۵۰ و ۴۰
استحکام تسلیم (MPa)	۲۰۰، ۴۰۰، ۲۰۰ و ۶۰۰، ۸۰۰
ضخامت ورق (mm)	۰، ۷۵ و ۰، ۲۵ و ۰، ۱۵
هندسه‌ی غلتک	تخت و زاویه‌دار

شکل دهنده شده دارد. در بررسی شکل دهنده غلتکی سرد مقاطع باز متقاضن،<sup>[۲]</sup> با در نظر گرفتن رفتار کشسانی - خمیرسانی ورق و منظور کردن اثر باوشنینگ، تنش‌های عرضی، طولی و برشی محاسبه شد، و با محاسبه‌ی توان و کمینه‌کردن آن، پروفیل تغییر شکل ورق بین ایستگاه‌ها به دست آمد. سپس بدکمک نرم‌افزار اجزای محدود Abaqus شکل دهنده یک مقطع کانالی شبیه‌سازی،<sup>[۳]</sup> و با انجام آزمایش‌های تجربی محدود پروفیل،<sup>[۴]</sup> چند مقطع - از جمله مقطع کانالی - شبیه‌سازی شد. محققین با استفاده از نرم‌افزار اجزای محدود Marc، روابطی برای طول تغییر شکل و نیز کش طولی در لبه مقطع کانالی ارائه کردند.<sup>[۵]</sup> آنان با یک طراحی فاکتوریال دوستطحی با استفاده از تحلیل اجزای محدود، به بررسی پارامترهای مؤثر بر کرنش بیشینه و طول تغییر شکل پرداختند. در تحقیقی دیگر تأثیر استحکام ورق بر طول تغییر شکل و کرنش طولی در لبه ورق بررسی،<sup>[۶]</sup> مشاهده شد که با افزایش استحکام تسلیم، طول تغییر شکل و کرنش طولی کاوش می‌باشد. همچنین نیروها و گشتاورهای وارد بر غلتک‌ها بررسی شد<sup>[۷]</sup> و با یک سری آزمایش‌های تجربی، نیروها و گشتاورهای وارد بر غلتک‌ها و توان مصرفی به دست آمد. در مطالعه‌ی مذکور تأثیر استحکام تسلیم بر بار و گشتاور غلتک بررسی و دو مدل برای بار و گشتاور ارائه شد، مقایسه‌ی مقادیر به دست آمده از مدل‌ها با نتایج آزمایش‌های تجربی به خوبی مطابقت داشت.

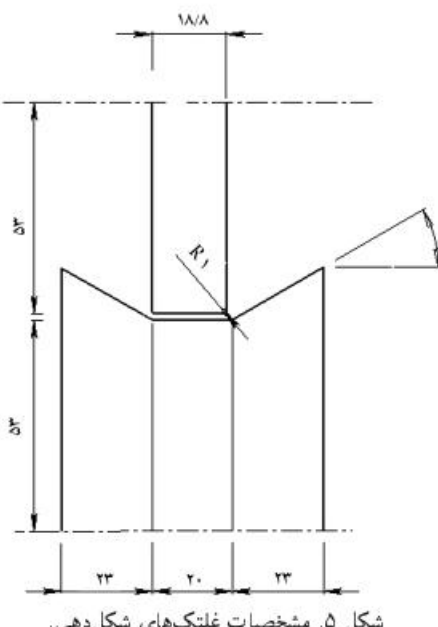
در مطالعات بعدی،<sup>[۸]</sup> محققین از نرم‌افزار اجزای محدود Metafor برای شبیه‌سازی فرایند شکل دهنده غلتکی سرد، در شکل دهنده کانالی ساخته شده از فولاد ضدزنگ و فولاد با استحکام بالا استفاده کردند. محققین از تکنیک‌های بهینه‌سازی خبره برای تعیین پارامترهای بهینه‌ی فرایند، در ایستگاه پایانی فرایند شکل دهنده غلتکی بهره برند.<sup>[۹]</sup> از فولاد با استحکام بسیار بالا برای شکل دهنده غلتک مقطع V شکل استفاده شد و نتایج عیوب برگشت فنری و شمشیری شدن در محصول نشان داده شد. در تحقیقات بعدی محققین به بررسی تأثیر ارزی خم شده بر طول تغییر شکل پرداختند.<sup>[۱۰]</sup> که در آن نسبت ارزی خم صرف شده برای خم ورق در ناحیه‌ی بال ورق به ارزی محاسبه شده توسط باتاچاریا در ناحیه‌ی خم محاسبه، و مشاهده شد این ارزی قابل توجه است و باید ضمن افزودن آن به ارزی در نظر گرفته شده در مدل باتاچاریا، طول تغییر شکل مجدداً محاسبه شود. محققین با ارائه‌ی معیاری، به بررسی نقص چین خورده<sup>[۱۱]</sup> با استفاده از شبیه‌سازی اجزای محدود نرم‌افزار آبکوس پرداختند. در این معیار از کرنش طولی به استفاده شد: وقتی کرنش طولی به از حدی افزایش یابد، در لبه محصول چین خورده‌ی ایجاد می‌شود. در این مطالعه اثر پارامترهای هندسه‌ی غلتک، تنش تسلیم، ضخامت و عرض ورق و همچنین زاویه‌ی شکل دهنده بر گشتاور و توان مصرفی بررسی می‌شود. آثار دو هندسه‌ی متفاوت از غلتک‌ها بر گشتاور و توان در فرایند شکل دهنده غلتکی



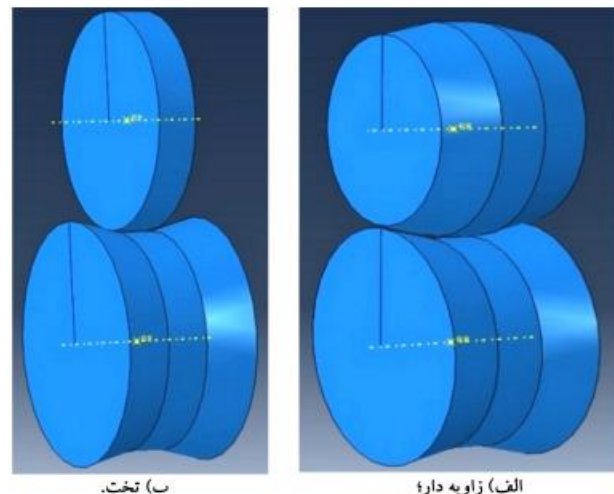
شکل ۳. نحوه سوارکردن غلتک‌های نگهدارنده و غلتک‌های شکل دهی روی ورق در خط تولید برای هندسه‌ی غلتک بالایی.



شکل ۴. قسمت‌های مختلف یک مقطع و اندازه‌های هر قسمت.



شکل ۵. مشخصات غلتک‌های شکل دهی.



شکل ۲. شایای از غلتک‌های شکل دهی با هندسه‌ی غلتک بالایی.

می‌گیرد. از آنجاکه زاویه‌ی شکل دهی در ایستگاه بعدی روی نیرو و گشتاور وارد بر غلتک‌ها در ایستگاه مورد نظر اثر می‌گذارد، به منظور رفع این تأثیر و نیز تعیین اثر واقعی زاویه‌ی شکل دهی هر ایستگاه بروی نیرو و گشتاور در آن ایستگاه، زاویه‌ی دو ایستگاه شکل دهی مساوی در نظر گرفته شد تا در ایستگاه دوم علاوه‌غیرشکلی روی ورق اعمال نشود. غلتک‌ها مطابق شکل ۲ در نرم‌افزار کتیا مدل، با پسوند *iges* ذخیره و به نرم‌افزار *Abaqus* منتقل شدند.

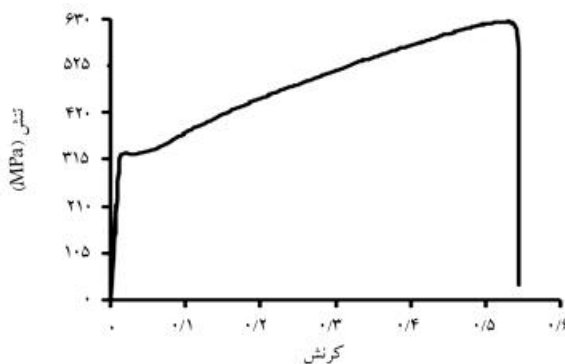
از آنجاکه فاصله‌ی بین ایستگاه‌ها ۱۴۵ میلی‌متر در نظر گرفته شد، چون ورق باید در هر لحظه دست کم با دو ایستگاه شکل دهی درگیر باشد، ورقی به طول ۳۰۰ میلی‌متر مدل شد. غلتک بالایی در ایستگاه‌های شکل دهی تخت است و غلتک پایینی در این ایستگاه‌ها دارای پروفیلی زاویه‌دار است و در این عامل اصلی ایجاد خم روی ورق است. فاصله‌ی بین غلتک‌ها به اندازه‌ی ضخامت ورق در نظر گرفته شد، در شکل ۳ نحوه سوارکردن غلتک‌های نگهدارنده و غلتک‌های شکل دهی بر روی ورق نشان داده شده است.

مقطع کانالی مورد بحث در این مطالعه یک صفحه‌ی تقارن دارد که از خط مرکزی آن می‌گذرد. با توجه به تقارن مذکور، نیمی از آن مدل شد. در شکل ۴ قسمت‌های مختلف یک مقطع به همراه اندازه‌هایی که براساس آنها غلتک طراحی شده، نشان داده شده است. در شکل ۵ نیز شایای از غلتک‌های شکل دهی بالا و پایین و اندازه‌های آنها نشان داده شده است.

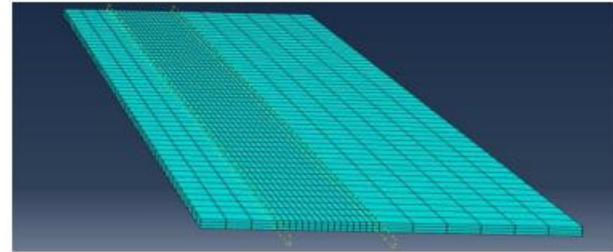
با توجه به ناچیزی‌بودن مقدار تغییرشکل غلتک‌ها از یک سو و مد نظر نبودن بررسی تغییر شکل غلتک‌ها در این مطالعه از سوی دیگر، غلتک‌ها را صلب و ورق را شکل پذیر در نظر گرفتیم، المان‌های هشتگری‌بی از نوع C3DRA برای شبکه‌بندی ورق استفاده شده است. از آنجاکه هدف اندازه‌گیری نیرو و توان شکل دهی بوده است و نیروی ناشی از شبیه‌سازی با المان توپر به تابع تجربی نزدیکتر است، از المان توپر برای مدل‌سازی ورق استفاده شده است. محققین این موضوع را در قالب مقایسه‌ی تابع مدل‌سازی با المان توپر و المان پوسته بررسی کرده‌اند<sup>[12]</sup> و نتیجه گرفته‌اند که برای بررسی نیرو تابع مدل‌سازی با المان توپر بهتر از المان پوسته است. در طول ضخامت ورق سه ردیف المان در نظر گرفته شده است. همچنین برای اطمینان از جواب، ناحیه‌ی خشن با المان‌های ریزتری شبکه‌بندی شده نشان داده شده است.



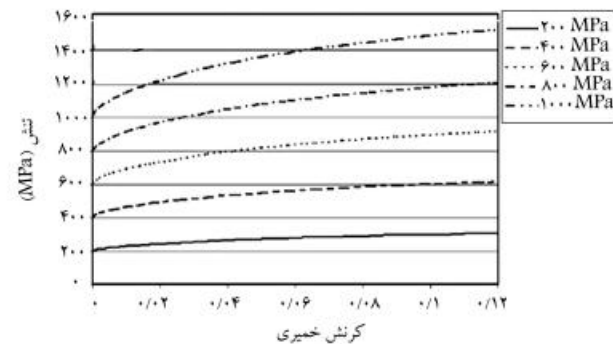
شکل ۸. نتایی از دستگاه آزمایشگاهی.



شکل ۹. نتایج آزمون کشش ورق ST12.



شکل ۶. نتایی از ورق شبکه‌بندی شده.

شکل ۷. منحنی تنش حقیقی - کرنش خمیری حقیقی.<sup>[4]</sup>

در شبیه‌سازی‌های انجام‌شده، فرض شد که ماده در تمام جهات خواص همسان‌گرد دارد. برای تعیین دقیق مقدار نیرو و گشتاور واردۀ بر غلتک‌ها، باید حالات ارتجاعی و خمیری و نیز رفتار کارسختی ماده در نظر گرفته شود که در این راستا قانون کارسختی همسان‌گرد مورد استفاده قرار گرفت، تا حیه‌ی کشسانی در نرم‌افزار Abaqus با وارد کردن مدول یانگ ۲۰۷ گیگاباسکال و ضربی پواسون ۰/۳ مشخص می‌شود، برای معرفی تا حیه‌ی خمیری، منحنی تنش حقیقی - کرنش حقیقی به نرم‌افزار داده شد. در شکل ۷ هم منحنی تنش حقیقی - کرنش حقیقی ۷ ماده با تنش‌های تسلیم در جدول ۱ نشان داده شده است. هدف استفاده از این خواص، مقایسه‌ی نتایج شبیه‌سازی تحقیق حاضر با نتایج مطالعات پیشین<sup>[4]</sup> است. سرعت حرکت ورق در طول خط تولید معادل ۰/۶ متر بر ثانیه تنظیم شد. این سرعت براساس شرط شبیه‌استاتیک بودن فرایند شکل‌دهی غلتکی سرد انتخاب شده است. سرعت دورانی به غلتک پائینی اعمال شده و غلتک بالایی به صورت هرزگرد در نظر گرفته شده که با نیروی ناشی از اصطکاک بین ورق و غلتک می‌چرخد. برای ایجاد کشش در ورق در بین ایستگاه‌ها ۰/۵ درصد افزایش سرعت در ایستگاه‌های بعدی اعمال شد. ضربی اصطکاک بین ورق و غلتک با توجه به استفاده نکردن از روان‌کار<sup>[4]</sup> برای ۰/۱ انتخاب شد.

#### ۴. نتایج و بحث

به منظور صحت‌سنجی نتایج مدل‌سازی در نرم‌افزار Abaqus، نتایج مدل‌سازی‌ها به دو صورت صحت‌سنجی شد: ۱. با استفاده از نتایج آزمایش‌های تجربی تحقیق حاضر؛ ۲. از مقایسه‌ی نتایج شبیه‌سازی تحقیق حاضر با نتایج محققین دیگر، از آنجا که آزمایش‌های تجربی به منظور بررسی تأثیر دسته‌ی این پارامترها بر توان مصرفی انجام شده، نتایج آنها در بخش بررسی تأثیر پارامترها (بخش ۲.۴) ارائه و با نتایج شبیه‌سازی مقایسه می‌شود.

#### ۱.۴. صحت نتایج شبیه‌سازی با نتایج لیندگرن

در ادامه، نتایج شبیه‌سازی با نتایج تحقیق لیندگرن<sup>[4]</sup> مقایسه می‌شود. برای این منظور تعدادی شبیه‌سازی براساس اطلاعات ذکر شده در این مرجع انجام و کرنش طولی به حاصل از شبیه‌سازی‌ها مقایسه شد. در شبیه‌سازی‌های انجام شده تأثیر افزایش استحکام ورق مورد استفاده در شکل‌دهی برای دو زاویه‌ی ۱۰° و ۲۰° درجه روی کرنش طولی لبه مورد بررسی قرار گرفت. خواص مکانیکی مورد نیاز برای بررسی تأثیر استحکام از شکل ۷ استخراج شده است. در شکل ۱۰ نتایج این بررسی نشان داده شده است. چنان‌که مشاهده می‌شود، افزایش استحکام تسلیم منجر به کاهش کرنش طولی شده است. دلیل این امر را می‌توان کاهش میزان تغییر شکل و کشش در ناحیه‌ی بال ورق برای افزایش استحکام تسلیم و درنتیجه کاهش کرنش طولی لبه دانست. مقایسه‌ی شکل ۱۰ الف با شکل ۱۰ ب نشان می‌دهد که با افزایش زاویه‌ی شکل‌دهی، مقدار کرنش طولی لبه به شدت زیاد شده است. دلیل این امر

#### ۳. آزمایش‌های تجربی

برای صحت‌سنجی نتایج مدل اجزای محدود در نرم‌افزار Abaqus تعدادی آزمایش تجربی انجام شد. بدین منظور از یک دستگاه شکل‌دهی غلتکی سرد (شکل ۸) و نیز از ورق ST12 استفاده شد. برای استخراج خواص مکانیکی این ورق آزمون کشش طبق استاندارد ASTM-E8 روی آن انجام شد تا از این خواص در شبیه‌سازی‌ها استفاده شود (شکل ۹).

جدول ۲. مشخصات ضخامتها و عرض‌های ورق در آزمایش‌های تجربی.

شماره نمونه	عرض ورق (آمیلی متر)	ضخامت ورق (آمیلی متر)
۱/۲۵	۴۰	۱
۲	۴۰	۲
۱/۲۵	۷۰	۳
۲	۷۰	۴

جدول ۳. مقایسه‌ی توان مصرفی تجربی و شبیه‌سازی.

شماره نمونه	شدت جریان (آوات)	توان شبیه‌سازی (آوات)	درصد اختلاف تجربی و شبیه‌سازی
۵/۳	۴۵۳/۴۷	۴۷۹/۱	۱/۳
۶/۸	۵۸۴/۱۱	۶۲۶/۶	۱/۷
۹/۵	۳۶۶/۷۶	۴۰۵/۴	۱/۱
۳/۹	۴۹۵/۸۱	۵۱۶	۱/۴



شکل ۱۱. نایابی از یک ورق شکل داده شده.

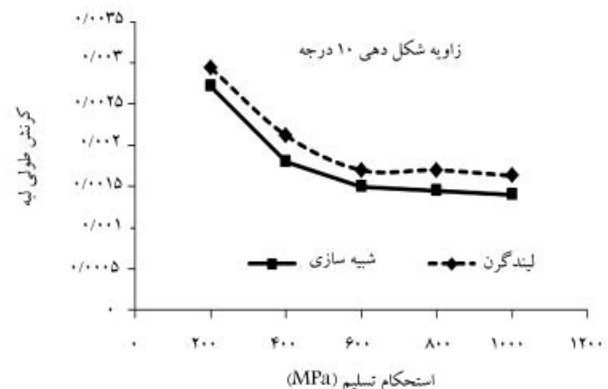
گشتاور شکل دهی را از نرم افزار استخراج و با داشتن سرعت دورانی غلتک‌ها، توان شکل دهی را با استفاده از رابطه‌ی ۲ به دست آورد:

$$P = T \cdot \omega \quad (2)$$

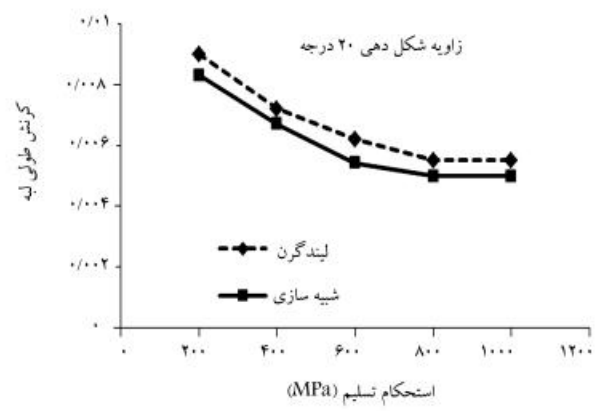
که در آن،  $T$  گشتاور و  $\omega$  سرعت دورانی غلتک‌هاست. برای نمونه‌های ۱ تا ۴، توان شکل دهی در شبیه‌سازی محاسبه شد. در جدول ۳ مقادیر توان مصرفی حاصل از شبیه‌سازی و نیز درصد اختلاف نسبی آن با توان‌های آزمایش‌های تجربی درج شده است.

مشاهده می‌شود که درصد اختلاف بسیار کم است و آن نیز ناشی از استهلاک مکانیکی دستگاه آزمایش و عوامل بیرونی مانند نوسان جریان برق است که منطقی به نظر می‌رسد. به این ترتیب مشاهده می‌شود که نتایج آزمایش‌های تجربی، نتیجه‌های بدست آمده از شبیه‌سازی‌ها را به خوبی تأیید می‌کند. علاوه بر این اطلاعات جدول ۳ بیان می‌دارد که با افزایش ضخامت، توان مصرفی افزایش و با افزایش پهنای ورق توان مصرفی کاهش می‌یابد. در شکل ۱۱ یک نمونه از محصول تولید شده در آزمایش‌های تجربی ارائه شده است.

در شکل ۱۲ چگونگی تغییرات گشتاور وارد بر غلتک پایینی ایستگاه شکل دهی



الف) بیشترین کوتاهی طولی لبه برای زاویه‌ی ۱۰ درجه:



ب) بیشترین کوتاهی طولی لبه برای زاویه‌ی ۲۰ درجه.

شکل ۱۰. مقایسه‌ی نتایج شبیه‌سازی با داده‌های گزارش شده در تحقیقات پیشین.<sup>[۸]</sup>

افزایش مقدار شکل دهی و کشیدگی در ناحیه‌ی بال ورق برای افزایش زاویه‌ی خم است. مقایسه‌ی مذکور بیان می‌دارد که نتایج شبیه‌سازی این تحقیق با نتایج تحقیقات پیشین<sup>[۸]</sup> از نزدیکی و همانگی خوبی برخوردار است.

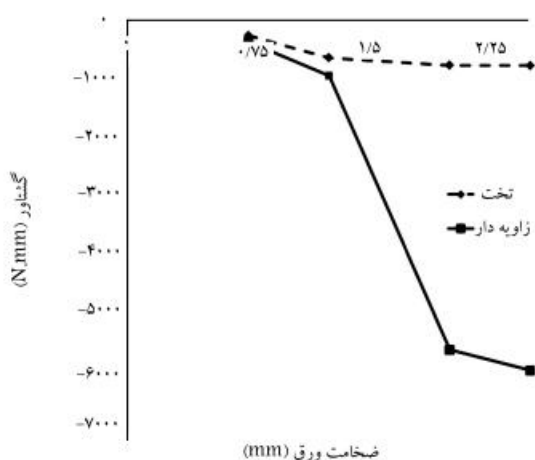
#### ۲.۴. صحت نتایج شبیه‌سازی با نتایج تجربی تحقیق حاضر

در این قسمت ضمن مقایسه‌ی نتایج شبیه‌سازی با نتایج آزمایش‌های تجربی، تأثیر عرض و ضخامت ورق بر توان مصرفی برسی می‌شود. به منظور بررسی اثر عرض و ضخامت ورق بر گشتاور شکل دهی، آزمایش‌هایی براساس عرض‌ها و ضخامت‌های ارائه شده در جدول ۲ انجام شد. در آزمایش‌های تجربی، مقدار شدت جریان عبوری از موتور سه‌فاز محرک غلتک‌ها بهمکان یک مولتی متر اندازه‌گیری، و شدت جریان مؤثر از روی آن محلبی شد. توان مصرفی از رابطه‌ی ۱ به دست آمد که در آن  $P$  توان مصرفی،  $\bar{V}$  ولتاژ سه‌فاز متوسط،  $I_{eff}$  شدت جریان مؤثر،  $\eta$  بازده موتور و  $\cos(\varphi) = ۰/۷$  از مشخصات موتور محرک (مربوط به اختلاف فاز) است:

$$P = \sqrt{3} \bar{V} \cdot I_{eff} \cdot \cos(\varphi) \cdot \eta \quad (1)$$

بازده موتور با توجه به شرایط کاری آن ۸۰٪ و ولتاژ متوسط ۳۸۰ ولت در نظر گرفته شد. در جدول ۳ شدت جریان‌های مؤثر اندازه‌گیری شده بهمراه توان مصرفی متاظر با آنها ارائه شده است.

برای محاسبه‌ی توان شکل دهی در نرم افزار اجزای محدود Abaqus می‌توان



شکل ۱۴. اثر ضخامت ورق بر گشتاور غلتک.

#### ۴.۴. اثر ضخامت ورق بر گشتاور غلتک

در شکل ۱۴ تأثیر افزایش ضخامت محصول تولیدی روی گشتاور وارد بر غلتک‌ها نشان داده شده است. با توجه به این شکل می‌توان گفت که افزایش ضخامت ورق باعث زیاد شدن گشتاور وارد بر غلتک‌ها می‌شود اما در هندسه‌ی زاویه‌دار میزان افزایش گشتاور بیشتر است. که مقدار این افزایش با زیاد شدن ضخامت ورق به بیش از ۱/۲۵ میلی‌متر با شبیب ملائمتری دنبال می‌شود.

#### ۵. نتیجه‌گیری

از مسائل بسیار مهم در طراحی و بهینه‌سازی فرایند شکل دهنده غلتکی سرد، تخمین گشتاور شکل دهنده و توان مورد نیاز برای شکل دهنده است. از پارامترهای اساسی تأثیرگذار بر گشتاور و توان شکل دهنده، می‌توان به هندسه‌ی غلتک، تنش تسلیم، ضخامت و عرض ورق و زاویه‌ی شکل دهنده اشاره کرد. بدین‌منظور یک سری شبیه‌سازی در نرم‌افزار اجزای محدود Abaqus به صورت سه‌بعدی انجام شد. نتایج به دست آمده از تحقیق حاضر عبارت است از:

۱. نتایج حاصل از شبیه‌سازی‌ها در خصوص پیش‌بینی توان مصرفی ایستگاه شکل دهنده در فرایند شکل دهنده غلتکی سرد، با نتایج تجربی به خوبی مطابقت دارد. بنابراین می‌توان از شبیه‌سازی با نرم‌افزار برای تعیین توان مصرفی و درنتیجه انتخاب موتورهای مورد نیاز برای خطوط تولید فرایند شکل دهنده غلتکی سرد استفاده کرد.

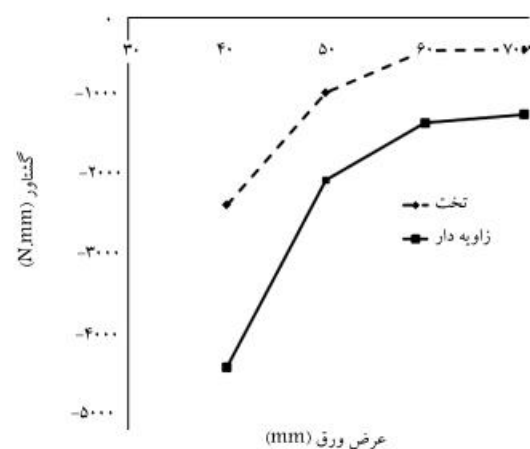
۲. نتایج بدست آمده از شبیه‌سازی‌ها نشان داد که با افزایش استحکام تسلیم، زاویه‌ی شکل دهنده، ضخامت ورق و کاهش عرض ورق، گشتاور مورد نیاز برای شکل دهنده برای دو نوع هندسه‌ی غلتک بالایی زاویه‌دار و تخت افزایش می‌باشد. بنابراین مهندسین طراحی و تولید می‌توانند با در نظر گرفتن تأثیر هر کدام از کیفیت‌های مذکور روی گشتاور غلتک و توان شکل دهنده، نوع و توان موتورهای محرك را با توجه به گشتاور مورد نیاز برای شکل دهنده مشخص سازند و نسبت به بهینه‌سازی مصرف انرژی اقدام کنند.

۳. در غلتک‌های بالایی زاویه‌دار با افزایش پارامترهای ذکر شده، گشتاور وارد بر غلتک‌ها با نرخ بیشتری نسبت به غلتک تخت افزایش خواهد یافت. در غلتک زاویه‌دار، چون ورق در ناحیه‌ی بالین بین دو غلتک بالایی و

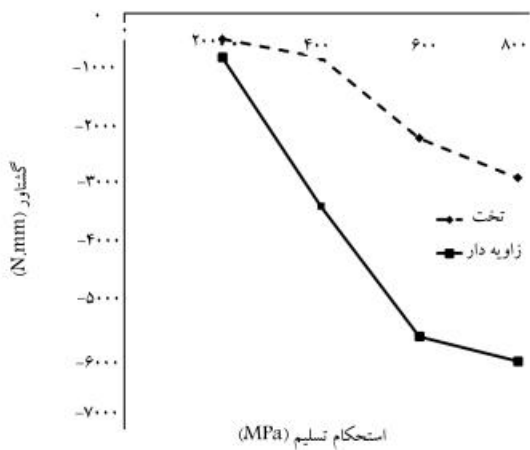
پراسس تغییر عرض ورق برای دو هندسه‌ی غلتک متفاوت تخت و زاویه‌دار حاصل از شبیه‌سازی‌ها ارائه شده است. چنان‌که مشاهده می‌شود افزایش عرض ورق برای هردو نوع هندسه‌ی غلتک سبب کاهش گشتاور وارد بر غلتک پلین شده است (شکل ۱۲). در توجیه این امر می‌توان گفت که با زیاد شدن عرض ورق، طول تماس بین غلتک و ورق زیادتر می‌شود. از آنجاکه نیروی عامل راشن طرق در طول خط تولید همان نیروی اصطکاک مابین ورق و غلتک است، با افزایش طول تماس مقدار این نیرو زیاد شده و ورق راحت‌تر به درون فاصله‌ی بین غلتک‌ها کشیده می‌شود. علاوه بر این پیداست که وقتی غلتک بالایی ایستگاه شکل دهنده به صورت تخت باشد میزان گشتاور نسبت به زمانی که این غلتک زاویه‌دار است، کاهش می‌یابد.

#### ۳.۴. اثر استحکام تسلیم بر گشتاور غلتک

در این بخش، اثر استحکام تسلیم روی توان و گشتاور وارد بر غلتک‌ها مورد بررسی قرار گرفته است. با توجه به شکل ۱۳، افزایش استحکام تسلیم موجب افزایش گشتاور وارد بر غلتک پایینی شده است؛ این افزایش در هندسه‌ی غلتک زاویه‌دار گشتاور است. با توجه به نمودارها، در استحکام‌های تسلیم بیشتر از ۶۰۰ مگاپاسکال، این روند افزایش با شبیب ملائمتری دنبال شده است. منفی بودن مقدار گشتاورهای داده شده در نمودار ناشی از راستای چرخش غلتک پایینی برای کشیدن ورق به سمت جلو است.



شکل ۱۲. اثر عرض ورق بر روی گشتاور غلتک.



شکل ۱۳. اثر استحکام تسلیم بر گشتاور غلتک.

## فهرست علائم

- $R_1$ : شاعع لبه!
- $P$ : توان شکل دهنده!
- $T$ : گشتاور شکل دهنده!
- $\bar{V}$ : ولتاژ سه فاز متوسط!
- $I_{eff}$ : شدت جریان مؤثر!
- $\eta$ : بازده موتور!
- $\varphi$ : اختلاف فاز!
- $\omega$ : سرعت دورانی!

پائینی محصور است، نیز با توجه به حضور نیروی اصطکاک بین ورق و غلتکها (علاوه بر فشار غلتکها)، گشتاور شکل دهنده بیشتر از غلتک تخت است.

۴. مقدار گشتاور اعمالی به غلتکها و درنتیجه توان مورد نیاز شکل دهنده برای ایستگاههای شکل دهنده با غلتکهای بالایی تخت در تمام حالت های مورد بررسی کمتر است. بنابراین می توان نتیجه گرفت با توجه به فرایند ساخت ساده تر و مقرر به صرفه تر ایستگاههای شکل دهنده با غلتکهای بالایی تخت، برای تولید مقاطع کاتالی باید از این نوع هندسه ای غلتک استفاده شود.

## منابع (References)

1. Senanayake, J. "The application of computation and experimental to metal deformation in cold roll forming", *J. Material Processing Technology*, **45**, pp. 155-163 (1994).
2. Hong, S., Lee, S. and Kim, N. "A parametric study on forming length in roll forming", *Journal of Materials Processing Technology*, **113**, pp. 774-778 (2001).
3. Groche, P., Von Breitenbach, G., Jöckel, M. and Zettler, A. "New tooling concepts for future roll forming applications", *4th International Conference on Industrial Tools (ITIC)*, pp. 121-126 (2003).
4. Tajdari, M. "Analysis of cold roll forming process for production of open section", Ph.D Thesis, Esfahan University of Technology (1998). (In Persia)
5. McClure, C.K. and Li, H. "Roll forming simulation using finite element analysis", *Manufacturing Review*, **8**, pp. 114-122 (1995).
6. Brunet, M. "Modelling of a roll-forming process with a combined 2D and 3D FEM code", *J. Materials Processing Technology*, **80-81**, pp. 213-219 (1998).
7. Lindgren, M. "An improved model for the longitudinal peak strain in the flange of a roll formed U-channel developed by FE-analyses", *Steel Research Int.*, **78**(1), pp.82-87 (2007).
8. Lindgren, M. "Cold roll forming of a U-channel made of high strength steel", *Journal of Materials Processing Technology*, **186**, pp. 77-81 (2007).
9. Lindgren, M. "Experimental investigations of the roll load and roll torque when high strength steel is roll formed", *Journal of Materials Processing Technology*, **191**, pp. 44-47 (2007).
10. Rossi, B., Degée, H. and Boman, R. "Numerical simulation of the roll forming of thin-walled sections and evaluation of corner strength enhancement", *Finite Elements in Analysis and Design*, **72**, pp. 13-20 (2013).
11. Wiebenga, J.H., Weiss, M., Rolfe, B. and van den Boogaard, A.H. "Product defect compensation by robust optimization of a cold roll forming process", *Journal of Materials Processing Technology*, **213**, pp. 978-986 (2013).
12. Moslemi Naeini, H. salmani Tehrani, M. and Safdarian R. "Investigating the weight of out-of-plane bending energy in predicting deformation length In roll forming of symmetric channel section", *16th International Conference Of Metalforming*, Poland (2008).
13. Salmani Tehrani, M. "Analysis and prediction of defects in the cold roll forming of symmetric channel sections", Ph.D Thesis of Mechanical Engineering, Isfahan University of Technology (2006). (In Persian)
14. Hellborg, S. "Finite element simulation of roll forming", M.Sc. Thesis of Mechanical Engineering, Linköping University (2007).